

### III-226 水底粘土地盤の掘削について

京都大学工学部 ○畠 昭治郎, 檜垣義雄, 建山知由

## 1. 土の掘削抵抗の推定について

既に報告<sup>1)</sup>したように、土の強制拘束の推定については、これと正比例の関係にある土の比強制抵抗  $R_S$  (図-1) を用いている。

水底砂質土については既報のとおり、その粒度分布と相対密度の影響とよくに受けれるが、 $R' = \left(\frac{D_{50}}{D_{15}}\right)^2 \left(\frac{D_{95}}{D_{50}}\right)$  とすれば、 $R_S$  と  $R'$  とは両方数値上を直線となり、試料を採取することによりその比級削抵抗  $R_S$  を推定することができた。

本報告では粘土に対するビウナヨカについて検討したものである。

图 - 1

## 2. 粘土における $R_s$ と $C$ との関係について

図-2 に  $R_s$  測定時の粘土の動きを示す。簡単のため、板の地中部にくついた  $1/4$  円筒形(半径  $a$ , 高さ  $B$ )のものが滑ると仮定し、その周辺に粘着力  $c$  が抵抗するものと仮定す

$$R_s = c\pi \left( \frac{1}{2\pi} + \frac{1}{3B} \right) \quad \dots \dots \dots (1)$$

となる。ただし、斜線を引いた部分も一緒に動くが、これは複数に作用するため無視するものとする。

上式から  $R_c$  は 粘着力  $c$  に比例し、深さ  $a$  は 埋込み率  $\alpha$  と  
がかかる。図-3 は 後者の関係を実測により 鉛筆でしたものである。

图-2

3. 水中における  $R_s$  の値は?

次ページの図-4には(1)式の  $R_c$  と C との実測値を示すとともに(図中の破線は(1)式, ○印は測定値の裏側)の粘土による引張力を除いたもの,  $\Delta EP$  はそれを除いたものである), 水中における  $R_c$  の値(黒くぬりつぶした点)を示している。

この図にみられるようく、 $R_s$  の値は空中でも水中でも強度変化ではなく、 $C$ を求めるすれば推定できることがわかる。なお、ここでは  $CE$ 求める方法としてベーン試験機を用いた。

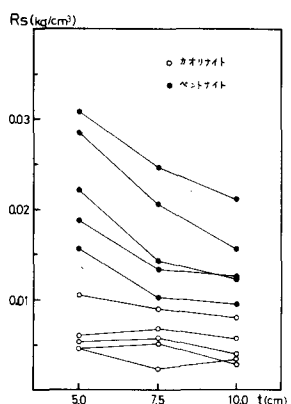


圖-3

#### 4. 多段刃採削方式について

前報<sup>1)</sup>のように、砂質土では  $R_s$  は深さに無関係に一定であり、掘削抵抗は深さの自乗に比例することから考えて、多段刃方式すきやち、ある深さで掘るのに一度に掘らざり何段かに分けて掘る方が抵抗が少ないとすることが予想され、事実もその通りで、多段刃式海底ケーブル埋設機が有効であった。

ところが粘土では、 $R_s$  が深さに逆比例することや、掘削抵抗が深さの 1 次に比例することはから、多段刃方式はかえって不利ではない。

かと考えられるので、次にこの関係を実験により確かめてみた。

### 5. 2枚刃による実験について

図-5に示すような2枚の刃を間隔 $b$ をあけてセットし、全掘削抵抗を実測したもののが図-6である。 $b=0$ のとき(0)は1枚の刃として作用するから、2枚ときの掘削抵抗値に対する、 $b$ を離れて2枚刃としたときの全抵抗をみて、1枚刃の方がわずかに小さく、やはり粘土では多枚刃は不適当であることがわかる。

### 6. 結論

以上のことからわかるように、水中粘土地盤の掘削抵抗はその粘着力 $C$ で決まるところによて(1)式より $R_s$ がわかり。これから掘削抵抗が推定できること、粘土地盤は砂地盤と異なり、多枚刃形式は向かないこと、などが明らかになった。然しながら例も少しく、模形の段階を出でていますので、今後さらに多くの研究が期待される。

### 参考文献

- 1) 島 昭治郎：“海底砂地盤の掘削とその応用”  
土木学会論文報告集第288号(1979年8月) 127頁。
- 2) 島 昭治郎他2名“水底土砂の掘削特性について”  
昭和54年度土木学会関西支部学術講演会 講演概要  
(1979年6月) II-18。

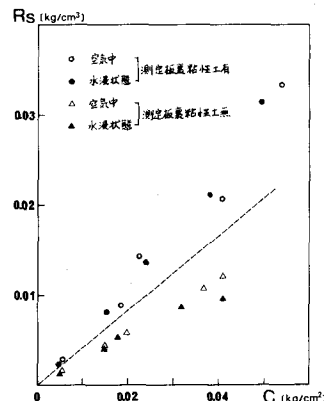


図-4

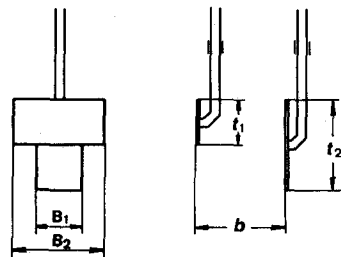


図-5

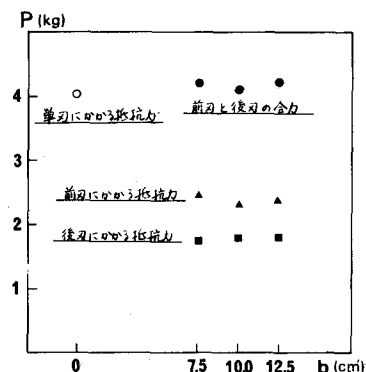


図-6